

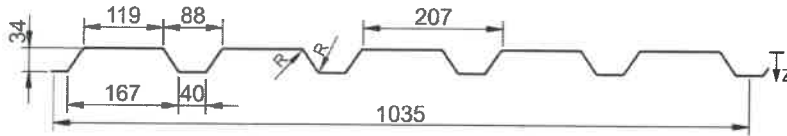
Stahl- Trapezprofil


JID 35-207-1035

Querschnitts- und Bemessungswerte nach DIN EN 1993-1-3

Profiltafel in Positivlage

Maße in mm, Radien R= 5 mm



Anlage 2.1 zum Prüfbescheid  
**ALS TYPENENTWURF**  
 in baustatischer Hinsicht geprüft.  
 Prüfbescheid Nr. T22-026  
 Landesdirektion Sachsen  
 / Landesstelle für Bautechnik  
 Leipzig, den 03.03.2022  
 Leiter:  Bearbeiter:



Nennstreckgrenze des Stahlkernes  $f_{y,k} = 320 \text{ N/mm}^2$

Maßgebende Querschnittswerte

Nennblechdicke <sup>a)</sup>	Eigenlast	Biegung <sup>11)</sup>		Normalkraftbeanspruchung						Grenzstützweiten <sup>13)</sup>	
		$I_{eff}^*$	$I_{eff}$	nicht reduzierter Querschnitt			wirksamer Querschnitt <sup>12)</sup>			Einfeldträger	Mehrfeldträger
$t_N$	$g$	$I_{eff}^*$	$I_{eff}$	$A_g$	$I_g$	$z_g$	$A_{eff}$	$I_{eff}$	$z_{eff}$	$L_{gr}$	$L_{gr}$
mm	kN/m <sup>2</sup>	cm <sup>4</sup> /m		cm <sup>2</sup> /m	cm		cm <sup>2</sup> /m	cm		m	
0,60	0,058	7,97	10,96	6,51	1,38	1,14	2,60	1,49	1,65	-	-
0,63	0,060	8,53	11,73	6,85	1,38	1,14	2,87	1,48	1,65	0,66	0,83
0,75	0,072	10,88	14,95	8,25	1,38	1,14	4,02	1,46	1,64	0,90	1,13
0,88	0,084	13,57	18,59	9,76	1,38	1,14	5,43	1,44	1,62	1,56	1,95
1,00	0,096	16,18	21,24	11,15	1,38	1,14	6,86	1,42	1,61	2,02	2,53
1,13	0,108	19,12	24,11	12,66	1,38	1,14	8,52	1,41	1,59	2,51	3,14
1,25	0,120	21,91	26,75	14,05	1,38	1,14	10,12	1,40	1,57	2,93	3,66

Schubfeldwerte

$t_N$	Grenzzustand der Gebrauchstauglichkeit <sup>17)</sup>					Grenzzustand der Tragfähigkeit <sup>18)</sup>						
	$T_{b,ck}$	$K_1^{14) 15)}$	$K_2^{14) 15)}$	$K_1^{* 15)}$	$K_2^{* 15)}$	$T_{Rk,g}^{16)}$	$L_R^{16)}$	$T_{Rk,l}$	$K_3^{19)}$	Lasteinleitung		
										$T_{t,Rk}^{22)}$	$F_{t,Rk}^{21)}$ für $a \geq$	
mm	kN/m	$10^{-4} \cdot \text{m/kN}$	$10^{-4} \cdot \text{m}^2/\text{kN}$	$10^{-4} \cdot 1/\text{kN}$	$10^{-4} \cdot \text{m}^2/\text{kN}$	kN/m	m	kN/m	-	kN/m	kN	kN

Normalbefestigung: Verbindung in jedem Untergurt

0,60	2,03	0,259	11,328	3,563	1,527	7,38	2,75	14,58	0,163	2,85	6,92	10,66
0,63	2,31	0,246	9,942	3,382	1,449	7,98	2,75	17,05	0,167	3,08	7,29	11,23
0,75	3,67	0,204	6,258	3,382	1,449	10,53	2,75	29,70	0,183	4,07	8,77	13,51
0,88	5,59	0,172	4,111	3,382	1,449	13,55	2,75	49,19	0,199	5,23	10,38	15,99
1,00	7,80	0,151	2,944	3,382	1,449	16,55	2,75	73,43	0,213	6,39	11,86	18,27
1,13	10,72	0,133	2,143	3,382	1,449	20,02	2,75	87,20	0,227	7,73	13,46	20,75
1,25	13,92	0,120	1,651	3,382	1,449	23,41	2,75	96,80	0,239	9,05	14,95	23,03

Sonderbefestigung: Verbindung mit 2 Schrauben oder verstärkter Unterlegscheibe in jedem Untergurt<sup>20)</sup>

0,60	1,93	0,259	10,128	3,563	0,763	7,38	2,75	14,58	0,233	4,68	6,92	10,66
0,63	2,20	0,246	8,889	3,382	0,725	7,98	2,75	17,05	0,233	5,06	7,29	11,23
0,75	3,49	0,204	5,596	3,382	0,725	10,53	2,75	29,70	0,233	6,68	8,77	13,51
0,88	5,32	0,172	3,675	3,382	0,725	13,55	2,75	49,19	0,233	8,59	10,38	15,99
1,00	7,43	0,151	2,632	3,382	0,725	16,55	2,75	73,43	0,233	10,50	11,86	18,27
1,13	10,20	0,133	1,916	3,382	0,725	20,02	2,75	87,20	0,233	12,70	13,46	20,75
1,25	13,24	0,120	1,476	3,382	0,725	23,41	2,75	96,80	0,233	14,85	14,95	23,03

a) Blechdicke: Minustoleranz nach DIN EN 10143:2006, Tabelle 2: „Eingeschränkte Grenzabmaße (S)“

Weitere Fußnoten siehe Beiblatt 1/2 bzw. 2/2

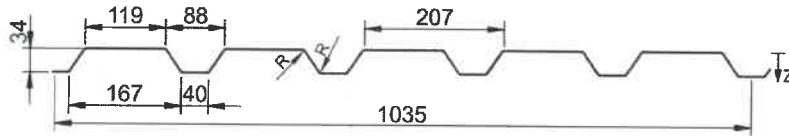
Stahl- Trapezprofil

JID 35-207-1035

Querschnitts- und Bemessungswerte nach DIN EN 1993-1-3

Profiltafel in Positivlage

Maße in mm, Radien R= 5 mm



Anlage 2.2 zum Prüfbescheid  
**ALS TYPENENTWURF**  
 in baustatischer Hinsicht geprüft.  
 Prüfbescheid Nr. T22-026  
 Landesdirektion Sachsen  
**Landesstelle für Bautechnik**  
 Leipzig, den 03.03.2022  
 Leiter: \_\_\_\_\_ Bearbeiter: \_\_\_\_\_



Nennstreckgrenze des Stahlkernes  $f_{y,k} = 320 \text{ N/mm}^2$

Charakteristische Tragfähigkeitswerte für andrückende Flächenbelastung <sup>3)</sup>

Nennblechdicke	Feldmoment	Endauflagerkraft <sup>6)</sup>		Quer- kraft	Elastisch aufnehmbare Schnittgrößen an Zwischenauflagern <sup>1) 2) 4) 5) 7)</sup>											
					Lineare Interaktion						Zwischenauflegerkräfte					
					Stützmomente			Zwischenauflegerkräfte			Stützmomente			Zwischenauflegerkräfte		
					$I_{a1} = 10 \text{ mm}$	$I_{a2} = 40 \text{ mm}$	$I_{a,B} = 10 \text{ mm}$	$I_{a,B} = 60 \text{ mm}$	$I_{a,B} = 100 \text{ mm}$	$I_{a,B} = 10 \text{ mm}$	$I_{a,B} = 60 \text{ mm}$	$I_{a,B} = 100 \text{ mm}$	$I_{a,B} = 10 \text{ mm}$	$I_{a,B} = 60 \text{ mm}$	$I_{a,B} = 100 \text{ mm}$	
$t_N$	$M_{c,Rk,F}$	$R_{w,Rk,A}$	$V_{w,Rk}$	$M_{Rk,B}^0$	$M_{c,Rk,B}$	$M_{Rk,B}^0$	$M_{c,Rk,B}$	$M_{Rk,B}^0$	$M_{c,Rk,B}$	$R_{Rk,B}^0$	$R_{w,Rk,B}$	$R_{Rk,B}^0$	$R_{w,Rk,B}$	$R_{Rk,B}^0$	$R_{w,Rk,B}$	
mm	kNm/m	kN/m	kN/m	kNm/m						kN/m						
0,60	1,224	3,97	6,13	1,65	1,32	1,65	1,32	1,65	1,32	9,93	7,94	17,77	14,21	21,62	17,30	
0,63	1,323	4,40	6,76	1,77	1,42	1,77	1,42	1,77	1,42	10,99	8,79	19,56	15,64	23,77	19,02	
0,75	1,751	6,28	9,52	2,29	1,84	2,29	1,84	2,29	1,84	15,71	12,56	27,43	21,94	33,19	26,55	
0,88	2,270	8,67	12,96	n.m.	2,90	2,32	2,90	2,32	2,90	2,32	21,68	17,35	37,21	29,77	44,84	35,87
1,00	2,769	11,20	16,54		3,48	2,79	3,48	2,79	3,48	2,79	27,99	22,39	47,35	37,88	56,87	45,50
1,13	3,346	14,26	20,85		4,14	3,31	4,14	3,31	4,14	3,31	35,66	28,53	59,51	47,61	71,24	56,99
1,25	3,884	17,40	25,21		4,74	3,80	4,74	3,80	4,74	3,80	43,51	34,81	71,79	57,43	85,70	68,56

Reststützmomente <sup>8)</sup>

$t_N$	$I_{a,B} = 10 \text{ mm}$			$I_{a,B} = 60 \text{ mm}$			$I_{a,B} = 100 \text{ mm}$			Reststützmomente $M_{R,Rk}$
	min L	max L	max $M_{R,Rk}$	min L	max L	max $M_{R,Rk}$	min L	max L	max $M_{R,Rk}$	
mm	m	m	kNm/m	m	m	kNm/m	m	m	kNm/m	
										$M_{R,Rk} = 0$ für $L \leq \min L$ $M_{R,Rk} = \frac{L - \min L}{\max L - \min L} \cdot \max M_{R,Rk}$ $M_{R,Rk} = \max M_{R,k}$ für $L \geq \max L$

Charakteristische Tragfähigkeitswerte für abhebende Flächenbelastung <sup>1) 2)</sup>

Nennblechdicke	Feldmoment	Verbindung in jedem anliegenden Gurt							Verbindung in jedem 2. anliegenden Gurt					
		Endauflagerkraft	M/V- Interaktion					Endauflagerkraft	M/V- Interaktion					
			$M_{c,Rk,B}$	$R_{Rk,B}^0$	$R_{w,Rk,B}$	$V_{w,Rk}$	$M_{c,Rk,B}$		$R_{Rk,B}^0$	$R_{w,Rk,B}$	$V_{w,Rk}$			
$t_N$	$M_{c,Rk,F}$	$R_{w,Rk,A}$	$M_{Rk,B}^0$	$M_{c,Rk,B}$	$R_{Rk,B}^0$	$R_{w,Rk,B}$	$V_{w,Rk}$	$R_{w,Rk,A}$	$M_{Rk,B}^0$	$M_{c,Rk,B}$	$R_{Rk,B}^0$	$R_{w,Rk,B}$	$V_{w,Rk}$	
mm	kNm/m	kN/m	kNm/m	kNm/m	kN/m	kN/m	kN/m	kN/m	kNm/m	kNm/m	kN/m	kN/m	kN/m	
0,60	1,319	28,15	-	1,224	-	-	28,15	14,08	-	0,612	-	-	14,08	
0,63	1,419	31,25	-	1,323	-	-	31,25	15,62	-	0,661	-	-	15,62	
0,75	1,835	42,64	-	1,751	-	-	42,64	21,32	-	0,875	-	-	21,32	
0,88	2,318	50,44	-	2,270	-	-	50,44	25,22	-	1,135	-	-	25,22	
1,00	2,786	57,64	-	2,769	-	-	57,64	28,82	-	1,385	-	-	28,82	
1,13	3,314	65,43	-	3,346	-	-	65,43	32,71	-	1,673	-	-	32,71	
1,25	3,795	72,62	-	3,884	-	-	72,62	36,31	-	1,942	-	-	36,31	

Fußnoten siehe Beiblatt 1/2

Stahl- Trapezprofil

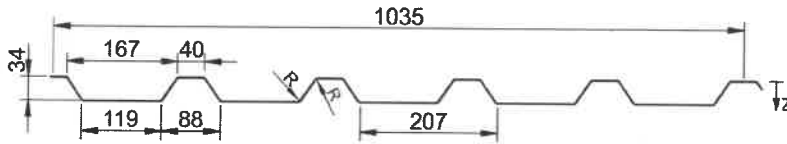
JID 35-207-1035

Querschnitts- und Bemessungswerte nach DIN EN 1993-1-3

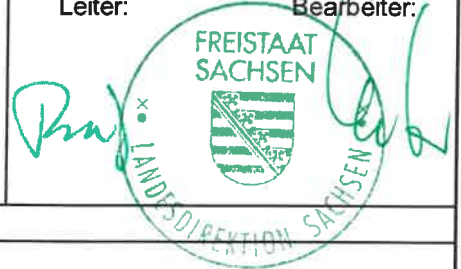
Profiltafel in

Negativlage

Maße in mm, Rädien R= 5 mm



Anlage 2.3 zum Prüfbescheid  
**ALS TYPENENTWURF**  
 in baustatischer Hinsicht geprüft.  
 Prüfbescheid Nr. T22-026  
 Landesdirektion Sachsen  
**Landesstelle für Bautechnik**  
 Leipzig, den 03.03.2022  
 Leiter: \_\_\_\_\_ Bearbeiter: \_\_\_\_\_



Nennstreckgrenze des Stahlkernes  $f_{y,k} = 320 \text{ N/mm}^2$

**Maßgebende Querschnittswerte**

Nennblechdicke <sup>a)</sup>	Eigenlast	Biegung <sup>11)</sup>		Normalkraftbeanspruchung						Grenzstützweiten <sup>13)</sup>	
				nicht reduzierter Querschnitt			wirksamer Querschnitt <sup>12)</sup>			Einfeldträger	Mehrfeldträger
$t_n$	$g$	$I_{eff}^*$	$I_{eff}$	$A_g$	$i_g$	$z_g$	$A_{eff}$	$i_{eff}$	$z_{eff}$	$L_{gr}$	$L_{gr}$
mm	kN/m <sup>2</sup>	cm <sup>4</sup> /m		cm <sup>2</sup> /m	cm		cm <sup>2</sup> /m	cm		m	
0,60	0,058	10,96	7,97	6,51	1,38	2,26	2,60	1,49	1,75	-	-
0,63	0,060	11,73	8,53	6,85	1,38	2,26	2,87	1,48	1,75	0,85	1,06
0,75	0,072	14,95	10,88	8,25	1,38	2,26	4,02	1,46	1,76	1,23	1,54
0,88	0,084	18,59	13,57	9,76	1,38	2,26	5,43	1,44	1,78	2,07	2,59
1,00	0,096	21,24	16,18	11,15	1,38	2,26	6,86	1,42	1,79	2,83	3,54
1,13	0,108	24,11	19,12	12,66	1,38	2,26	8,52	1,41	1,81	3,21	4,01
1,25	0,120	26,75	21,91	14,05	1,38	2,26	10,12	1,40	1,83	3,57	4,46

**Schubfeldwerte**

$t_n$	Grenzzustand der Gebrauchstauglichkeit <sup>17)</sup>					Grenzzustand der Tragfähigkeit <sup>18)</sup>						
	$T_{b,ck}$	$K_1^{14) 15)}$	$K_2^{14) 15)}$	$K_{s,1}^{15)}$	$K_{s,2}^{15)}$	$T_{Rk,g}^{16)}$	$L_R^{16)}$	$T_{Rk,l}$	$K_3^{19)}$	Lasteinleitung		
										$T_{t,Rk}^{22)}$	$F_{t,Rk}^{21)}$ für $a \geq$	
mm	kN/m	$10^{-4} \cdot \text{m/kN}$	$10^{-4} \cdot \text{m}^2/\text{kN}$	$10^{-4} \cdot 1/\text{kN}$	$10^{-4} \cdot \text{m}^2/\text{kN}$	kN/m	m	kN/m	-	kN/m	130 mm	280 mm
0,60	2,52	0,259	9,965	3,563	1,527	7,38	2,75	14,58	0,116	4,90	8,01	10,13
0,63	2,87	0,246	8,747	3,382	1,449	7,98	2,75	17,05	0,119	5,30	8,44	10,67
0,75	4,56	0,204	5,506	3,382	1,449	10,53	2,75	29,70	0,130	7,00	10,16	12,84
0,88	6,95	0,172	3,616	3,382	1,449	13,55	2,75	49,19	0,142	9,01	12,02	15,20
1,00	9,70	0,151	2,590	3,382	1,449	16,55	2,75	73,43	0,151	11,01	13,74	17,37
1,13	13,32	0,133	1,885	3,382	1,449	20,02	2,75	87,20	0,161	13,32	15,60	19,72
1,25	17,30	0,120	1,452	3,382	1,449	23,41	2,75	96,80	0,170	15,58	17,32	21,89

**Normalbefestigung: Verbindung in jedem Untergurt**

0,60	2,52	0,259	9,965	3,563	1,527	7,38	2,75	14,58	0,116	4,90	8,01	10,13
0,63	2,87	0,246	8,747	3,382	1,449	7,98	2,75	17,05	0,119	5,30	8,44	10,67
0,75	4,56	0,204	5,506	3,382	1,449	10,53	2,75	29,70	0,130	7,00	10,16	12,84
0,88	6,95	0,172	3,616	3,382	1,449	13,55	2,75	49,19	0,142	9,01	12,02	15,20
1,00	9,70	0,151	2,590	3,382	1,449	16,55	2,75	73,43	0,151	11,01	13,74	17,37
1,13	13,32	0,133	1,885	3,382	1,449	20,02	2,75	87,20	0,161	13,32	15,60	19,72
1,25	17,30	0,120	1,452	3,382	1,449	23,41	2,75	96,80	0,170	15,58	17,32	21,89

**Sonderbefestigung: Verbindung mit 2 Schrauben oder verstärkter Unterlegscheibe in jedem Untergurt<sup>20)</sup>**

0,60	9,29	0,259	0,707	3,563	0,763	7,38	2,75	14,58	0,413	12,06	8,01	10,13
0,63	10,58	0,246	0,621	3,382	0,725	7,98	2,75	17,05	0,413	13,04	8,44	10,67
0,75	16,81	0,204	0,391	3,382	0,725	10,53	2,75	29,70	0,413	17,21	10,16	12,84
0,88	25,59	0,172	0,257	3,382	0,725	13,55	2,75	49,19	0,413	22,15	12,02	15,20
1,00	35,74	0,151	0,184	3,382	0,725	16,55	2,75	73,43	0,413	27,06	13,74	17,37
1,13	49,09	0,133	0,134	3,382	0,725	20,02	2,75	87,20	0,413	32,74	15,60	19,72
1,25	63,74	0,120	0,103	3,382	0,725	23,41	2,75	96,80	0,413	38,30	17,32	21,89

<sup>a)</sup> Blechdicke: Minustoleranz nach DIN EN 10143:2006, Tabelle 2: „Eingeschränkte Grenzabmaße (S)“

Weitere Fußnoten siehe Beiblatt 1/2 bzw. 2/2

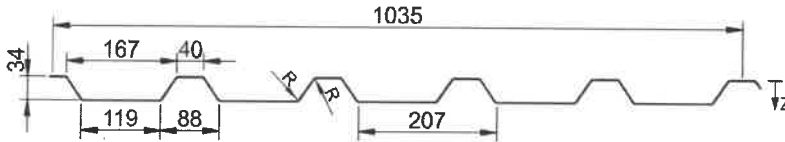
Stahl- Trapezprofil

JID 35-207-1035

Querschnitts- und Bemessungswerte nach DIN EN 1993-1-3

Profiltafel in **Negativlage**

Maße in mm, Radien R= 5 mm



Anlage 2.4 zum Prüfbescheid  
**ALS TYPENENTWURF**  
 in baustatischer Hinsicht geprüft.  
 Prüfbescheid Nr. T22-026  
 Landesdirektion Sachsen  
**Landesstelle für Bautechnik**  
 Leipzig, den 03.03.2022  
 Leiter: \_\_\_\_\_ Bearbeiter: \_\_\_\_\_



Nennstreckgrenze des Stahlkernes  $f_{y,k} = 320 \text{ N/mm}^2$

**Charakteristische Tragfähigkeitswerte für andrückende Flächenbelastung <sup>3)</sup>**

Nennblechdicke	Feldmoment	Endauflagerkraft <sup>6)</sup>		Quer-kraft	Elastisch aufnehmbare Schnittgrößen an Zwischenauflagern <sup>1) 2) 4) 5) 7)</sup>											
					Lineare Interaktion						Zwischenauflegerkräfte					
					Stützmomente			Zwischenauflegerkräfte			Stützmomente			Zwischenauflegerkräfte		
					$I_{a,B} = 10 \text{ mm}$	$I_{a,B} = 60 \text{ mm}$	$I_{a,B} = 100 \text{ mm}$	$I_{a,B} = 10 \text{ mm}$	$I_{a,B} = 60 \text{ mm}$	$I_{a,B} = 100 \text{ mm}$	$I_{a,B} = 10 \text{ mm}$	$I_{a,B} = 60 \text{ mm}$	$I_{a,B} = 100 \text{ mm}$	$I_{a,B} = 10 \text{ mm}$	$I_{a,B} = 60 \text{ mm}$	$I_{a,B} = 100 \text{ mm}$
$t_N$	$M_{c,Rk,F}$	$R_{w,Rk,A}$	$V_{w,Rk}$	$M_{Rk,B}^0$	$M_{c,Rk,B}$	$M_{Rk,B}^0$	$M_{c,Rk,B}$	$M_{Rk,B}^0$	$M_{c,Rk,B}$	$R_{Rk,B}^0$	$R_{w,Rk,B}$	$R_{Rk,B}^0$	$R_{w,Rk,B}$	$R_{Rk,B}^0$	$R_{w,Rk,B}$	
mm	kNm/m	kN/m	kN/m	kNm/m						kN/m						
0,60	1,319	3,97	6,13	1,53	1,22	1,53	1,22	1,53	1,22	9,93	7,94	17,77	14,21	21,62	17,30	
0,63	1,419	4,40	6,76	1,65	1,32	1,65	1,32	1,65	1,32	10,99	8,79	19,56	15,64	23,77	19,02	
0,75	1,835	6,28	9,52	2,19	1,75	2,19	1,75	2,19	1,75	15,71	12,56	27,43	21,94	33,19	26,55	
0,88	2,318	8,67	12,96	2,84	2,27	2,84	2,27	2,84	2,27	21,68	17,35	37,21	29,77	44,84	35,87	
1,00	2,786	11,20	16,54	3,46	2,77	3,46	2,77	3,46	2,77	27,99	22,39	47,35	37,88	56,87	45,50	
1,13	3,314	14,26	20,85	4,18	3,35	4,18	3,35	4,18	3,35	35,66	28,53	59,51	47,61	71,24	56,99	
1,25	3,795	17,40	25,21	4,86	3,88	4,86	3,88	4,86	3,88	43,51	34,81	71,79	57,43	85,70	68,56	

**Reststützmomente <sup>8)</sup>**

$t_N$	$I_{a,B} = 10 \text{ mm}$			$I_{a,B} = 60 \text{ mm}$			$I_{a,B} = 100 \text{ mm}$			Reststützmomente $M_{R,Rk}$
	min L	max L	max $M_{R,Rk}$	min L	max L	max $M_{R,Rk}$	min L	max L	max $M_{R,Rk}$	
mm	m	m	kNm/m	m	m	kNm/m	m	m	kNm/m	
										$M_{R,Rk} = 0$ für $L \leq \min L$ $M_{R,Rk} = \frac{L - \min L}{\max L - \min L} \cdot \max M_{R,Rk}$ $M_{R,Rk} = \max M_{R,k}$ für $L \geq \max L$

**Charakteristische Tragfähigkeitswerte für abhebbende Flächenbelastung <sup>1) 2)</sup>**

Nennblechdicke	Feldmoment	Verbindung in jedem abliegenden Gurt mit Kalotte <sup>9) 10)</sup>							Verbindung in jedem anliegenden Gurt <sup>9)</sup>				
		Endauflagerkraft	Lineare Interaktion						Endauflagerkraft	M/V- Interaktion			
			$M_{c,Rk,B}^0$	$M_{c,Rk,B}$	$R_{Rk,B}^0$	$R_{w,Rk,B}$	$V_{w,Rk}$	$R_{w,Rk,A}$		$M_{c,Rk,B}^0$	$M_{c,Rk,B}$	$R_{Rk,B}^0$	$R_{w,Rk,B}$
$t_N$	$M_{c,Rk,F}$	$R_{w,Rk,A}$	$M_{c,Rk,B}^0$	$M_{c,Rk,B}$	$R_{Rk,B}^0$	$R_{w,Rk,B}$	$V_{w,Rk}$	$R_{w,Rk,A}$	$M_{c,Rk,B}^0$	$M_{c,Rk,B}$	$R_{Rk,B}^0$	$R_{w,Rk,B}$	$V_{w,Rk}$
mm	kNm/m	kN/m	kNm/m	kNm/m	kN/m	kN/m	kN/m	kN/m	kNm/m	kNm/m	kN/m	kN/m	kN/m
0,60	1,224	6,13	1,649	1,319	15,34	12,27	-	28,15	-	1,319	-	-	28,15
0,63	1,323	6,76	1,773	1,419	16,90	13,52	-	31,25	-	1,419	-	-	31,25
0,75	1,751	9,52	2,294	1,835	23,79	19,03	-	42,64	-	1,835	-	-	42,64
0,88	2,270	12,96	2,898	2,318	32,39	25,91	-	50,44	-	2,318	-	-	50,44
1,00	2,769	16,54	3,483	2,786	41,35	33,08	-	57,64	-	2,786	-	-	57,64
1,13	3,346	20,85	4,142	3,314	52,12	41,69	-	65,43	-	3,314	-	-	65,43
1,25	3,884	25,21	4,744	3,795	63,02	50,42	-	72,62	-	3,795	-	-	72,62

Fußnoten siehe Beiblatt 1/2